

Células Fotovoltaicas de Silício: Uma Abordagem Abrangente com Equações e Explicações Físicas

Luiz Tiago Wilcke

25 de dezembro de 2024

Resumo

As células fotovoltaicas de silício são fundamentais na indústria de energia solar, representando a maior parcela do mercado global de conversão de energia solar em eletricidade. Este artigo proporciona uma análise detalhada da física e dos princípios de funcionamento das células fotovoltaicas de silício, incorporando equações fundamentais e explorações aprofundadas de conceitos físicos, incluindo insights do seminal trabalho de Shockley e Queisser sobre os limites de eficiência das células solares.

Sumário

1	Introdução	4
2	Estrutura das Células Fotovoltaicas de Silício	4
2.1	Substrato de Silício	4
2.2	Camada Dopada N	4
2.3	Camada Dopada P	4
2.4	Junção PN	5
2.5	Contatos Elétricos	5
2.6	Camada Antirreflexo	5
3	Princípio de Funcionamento	6
3.1	Absorção de Fótons	6
3.2	Geração de Portadores de Carga	6
3.3	Separação de Cargas	7
3.4	Coleta de Cargas	7

4	Equações Fundamentais	7
4.1	Geração de Corrente Fotovoltaica	7
4.2	Equação do Diodo para Células Fotovoltaicas	8
4.3	Eficiência de Conversão	9
4.4	Limite de Eficiência de Shockley-Queisser	9
5	Aspectos Físicos das Células de Silício	9
5.1	Banda Proibida e Absorção de Luz	9
5.2	Dopagem e Junção PN	10
5.3	Recombinação de Portadores	11
5.4	Comprimento de Decaimento	11
5.5	Fatores de Eficiência	12
6	Tipos de Células de Silício	12
6.1	Silício Monocristalino	12
6.2	Silício Policristalino	13
6.3	Silício Amorfo	13
7	Avanços e Desafios	14
7.1	Avanços Tecnológicos	14
7.1.1	Células PERC (Passivated Emitter and Rear Cell) . . .	14
7.1.2	Células Heterojunção	14
7.1.3	Tecnologias de Múltiplas Junções	14
7.1.4	Passivação Avançada	14
7.1.5	Uso de Revestimentos Anti-reflexo Avançados	14
7.2	Desafios	15
7.2.1	Redução de Custos	15
7.2.2	Durabilidade e Degradação	15
7.2.3	Reciclagem e Sustentabilidade	15
7.2.4	Limitações Físicas e Teóricas	15
7.2.5	Integração com Redes e Armazenamento	15
8	Limite de Eficiência de Shockley-Queisser	16
8.1	Fundamentos do Limite	16
8.2	Cálculo do Limite	16
8.3	Implicações do Limite	17
8.4	Superando o Limite	17
9	Modelagem e Simulação de Células Fotovoltaicas	18
9.1	Equação de Continuidade	18
9.2	Equações de Transporte	18

9.3	Modelagem de Recombinação	18
9.3.1	Recombinação Radiativa	19
9.3.2	Recombinação SRH	19
9.3.3	Recombinação de Auger	19
9.4	Simulação de Circuito	19
10	Avanços na Pesquisa de Shockley e Queisser	19
11	Aplicações Práticas e Implementações	20
11.1	Sistemas Residenciais e Comerciais	20
11.2	Energia de Grande Escala e Usinas Solares	20
11.3	Aplicações em Eletrônica Portátil e Dispositivos Integrados . .	21
11.4	Integração com Armazenamento de Energia	21
12	Futuro das Células Fotovoltaicas de Silício	21
12.1	Novos Materiais e Técnicas de Fabricação	21
12.2	Sustentabilidade e Reciclagem	21
12.3	Integração com Outras Tecnologias de Energia	21
12.4	Avanços em Armazenamento de Energia	22
12.5	Pesquisa em Superfícies e Interfaces	22
13	Conclusão	22
14	Referências	22

1 Introdução

As células fotovoltaicas de silício são a base da indústria de energia solar, representando a maior fatia do mercado de conversão de energia solar em eletricidade. Sua eficiência, confiabilidade e custos relativamente baixos as tornam uma escolha predominante para aplicações residenciais, comerciais e industriais. Este artigo explora detalhadamente a física e os princípios de funcionamento das células fotovoltaicas de silício, apresentando as equações fundamentais que descrevem seu comportamento e eficiência, além de discutir os avanços tecnológicos e os desafios enfrentados pela indústria, com especial atenção ao estudo seminal de Shockley e Queisser (1961) sobre os limites de eficiência das células solares.

2 Estrutura das Células Fotovoltaicas de Silício

Uma célula fotovoltaica típica de silício é composta por múltiplas camadas, cada uma desempenhando funções específicas no processo de conversão de energia solar em eletricidade. A seguir, detalhamos cada componente:

2.1 Substrato de Silício

O substrato pode ser de silício monocristalino ou policristalino. O silício monocristalino é obtido por métodos como o processo Czochralski, produzindo cristais de alta pureza e orientação uniforme, o que contribui para alta eficiência. O silício policristalino, por outro lado, é composto por múltiplos cristais, resultando em menores custos de produção, mas com eficiência ligeiramente inferior devido às fronteiras de grão que atuam como centros de recombinação.

2.2 Camada Dopada N

Esta camada é dopada com elementos doadores, como fósforo ou arsênio, introduzindo elétrons livres adicionais no silício. A concentração de dopantes determina a densidade de portadores de carga e a profundidade do gradiente de dopagem, afetando a eficiência da separação de cargas.

2.3 Camada Dopada P

Dopada com elementos aceitadores, como boro ou alumínio, criando lacunas (buracos) no silício. A combinação das camadas dopadas N e P forma a

junção PN, essencial para a criação do campo elétrico interno que separa os portadores de carga gerados pela absorção de luz.

2.4 Junção PN

A interface entre as camadas dopadas N e P. Nesta região, ocorre a formação de uma barreira de potencial que estabelece um campo elétrico interno, fundamental para a separação e direcionamento de elétrons e buracos gerados pela absorção de fótons.

2.5 Contatos Elétricos

Feitos de metais como prata ou alumínio, aplicados na superfície da célula para coletar e transportar os portadores de carga. O design dos contatos é crucial para minimizar a resistência elétrica e evitar sombreamento que poderia reduzir a eficiência da célula.

2.6 Camada Antirreflexo

Geralmente composta de dióxido de silício (SiO_2) ou trióxido de alumínio (Al_2O_3), esta camada reduz a reflexão da luz incidente, aumentando a quantidade de fótons absorvidos pela camada ativa de silício. A espessura da camada antirreflexo é otimizada para maximizar a transmissão de luz na faixa de comprimentos de onda mais eficazes para a geração de portadores de carga.

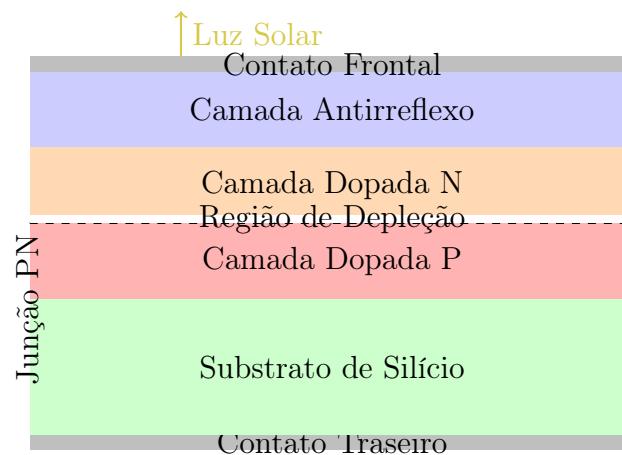


Figura 1: Estrutura básica de uma célula fotovoltaica de silício.

3 Princípio de Funcionamento

O funcionamento das células fotovoltaicas de silício baseia-se no efeito fotovoltaico, onde a luz incidente é convertida diretamente em eletricidade através de várias etapas interligadas:

3.1 Absorção de Fótons

A luz solar consiste em fótons com diferentes energias, determinadas pelo seu comprimento de onda. Quando esses fótons incidem sobre a célula fotovoltaica, são absorvidos pela camada ativa de silício, transferindo sua energia para os elétrons na banda de valência do silício.

A energia de um fóton E é dada por:

$$E = h\nu = \frac{hc}{\lambda} \quad (1)$$

onde:

- h é a constante de Planck (6.626×10^{-34} Js),
- ν é a frequência do fóton,
- c é a velocidade da luz (3×10^8 m/s),
- λ é o comprimento de onda.

A eficiência da absorção depende da energia do fóton em relação à banda proibida do silício (~ 1.1 eV). Fótons com energia menor que a banda proibida não conseguem gerar portadores de carga, enquanto aqueles com energia maior contribuem para a geração de elétrons e buracos, com o excesso de energia sendo convertido em calor.

3.2 Geração de Portadores de Carga

A absorção de fótons com energia suficiente gera pares elétron-buraco:



Os elétrons são promovidos da banda de valência para a banda de condução, deixando para trás buracos na banda de valência. A eficiência dessa geração é influenciada pela taxa de absorção $\alpha(\lambda)$ e pela profundidade de penetração dos fótons na célula.

3.3 Separação de Cargas

A junção PN estabelece um campo elétrico interno (E) que separa os elétrons e buracos gerados. Os elétrons são atraídos para a região dopada N, enquanto os buracos são atraídos para a região dopada P. Esse processo de separação é crucial para prevenir a recombinação imediata dos portadores de carga.

A densidade do campo elétrico na junção é dada por:

$$E(x) = \frac{q}{\epsilon} \int_0^x (p(x') - n(x')) dx' \quad (3)$$

onde:

- q é a carga elementar,
- ϵ é a permissividade do silício,
- $p(x')$ e $n(x')$ são as concentrações de buracos e elétrons, respectivamente, em função da posição x' .

3.4 Coleta de Cargas

Os portadores de carga separados são coletados pelos contatos elétricos, gerando uma corrente elétrica contínua. A corrente gerada depende da quantidade de portadores de carga que conseguem chegar aos contatos antes de se recombinarem.

4 Equações Fundamentais

4.1 Geração de Corrente Fotovoltaica

A corrente fotovoltaica I_{ph} gerada pela célula é proporcional à intensidade da luz incidente e pode ser descrita pela equação:

$$I_{ph} = q \cdot G \cdot L \cdot \eta_{abs} \quad (4)$$

onde:

- q é a carga elementar (1.602×10^{-19} C),
- G é a geração de portadores por unidade de volume e tempo,
- L é a largura da camada ativa,
- η_{abs} é a eficiência de absorção.

A geração G pode ser expressa como:

$$G = \int_{E_g}^{\infty} \frac{\Phi(E)}{E} \alpha(E) dE \quad (5)$$

onde:

- E_g é a banda proibida do silício,
- $\Phi(E)$ é o fluxo de fótons por unidade de energia,
- $\alpha(E)$ é a função de absorção.

4.2 Equação do Diodo para Células Fotovoltaicas

A célula fotovoltaica pode ser modelada como um diodo solar, cuja corrente é dada por:

$$I = I_{ph} - I_0 \left(e^{\frac{qV}{n k T}} - 1 \right) \quad (6)$$

onde:

- I é a corrente elétrica através da célula,
- I_{ph} é a corrente de fotoexcitação,
- I_0 é a corrente de saturação do diodo,
- V é a tensão aplicada,
- n é o fator de idealidade do diodo,
- k é a constante de Boltzmann (1.381×10^{-23} J/K),
- T é a temperatura absoluta.

A corrente de saturação I_0 está relacionada com os processos de recombinação na célula e é dada por:

$$I_0 = qA \left(\frac{n_i^2}{N_A L_p} + \frac{n_i^2}{N_D L_n} \right) \quad (7)$$

onde:

- A é a área da célula,
- n_i é a concentração de portadores intrínsecos,
- N_A e N_D são as concentrações de dopantes nos lados P e N,
- L_p e L_n são os comprimentos de decaimento dos buracos e elétrons.

4.3 Eficiência de Conversão

A eficiência η de uma célula fotovoltaica é a razão entre a potência elétrica de saída e a potência luminosa incidente:

$$\eta = \frac{P_{out}}{P_{in}} = \frac{V_{mp}I_{mp}}{E_{in}} \quad (8)$$

onde:

- V_{mp} e I_{mp} são a tensão e corrente no ponto de máxima potência,
- E_{in} é a energia luminosa incidente.

A eficiência pode ser maximizada ajustando os parâmetros de dopagem, espessura da camada ativa e design dos contatos elétricos para minimizar perdas por recombinação e otimizar a coleta de portadores de carga.

4.4 Limite de Eficiência de Shockley-Queisser

O estudo seminal de Shockley e Queisser (1961) estabeleceu o limite teórico de eficiência para uma célula solar de junção simples sob concentração de luz padrão (1 sun). Esse limite, conhecido como **Limite de Shockley-Queisser**, é de aproximadamente 33,7% para o silício.

A eficiência de conversão pode ser expressa como:

$$\eta_{SQ} = \frac{qV_{oc}J_{sc}}{P_{in}} \quad (9)$$

onde:

- V_{oc} é a tensão de circuito aberto,
- J_{sc} é a densidade de corrente de curto-circuito,
- P_{in} é a potência luminosa incidente.

5 Aspectos Físicos das Células de Silício

5.1 Banda Proibida e Absorção de Luz

O silício possui uma banda proibida de aproximadamente 1.1 eV, o que determina os comprimentos de onda de luz que podem ser absorvidos para gerar portadores de carga. A função de absorção $\alpha(\lambda)$ é crítica para entender a eficiência da célula:

$$\alpha(\lambda) = \frac{4\pi k(\lambda)}{\lambda} \quad (10)$$

onde $k(\lambda)$ é o índice de extinção.

A absorção de luz no silício segue diferentes regimes dependendo da energia do fóton:

- **Absorção Direta:** Para fótons com energia igual ou superior à banda proibida, ocorre absorção direta, gerando pares elétron-buraco.
- **Absorção Indireta:** Mesmo para fótons com energia inferior à banda proibida, processos indiretos podem gerar portadores de carga através de mecanismos como a absorção de dois fótons ou processos de exciton.

A eficiência de absorção é maximizada através da otimização da espessura da camada ativa e da aplicação de camadas antirreflexo.

5.2 Dopagem e Junção PN

A dopagem é o processo de introdução de impurezas no silício para criar regiões do tipo N (rico em elétrons) e do tipo P (rico em buracos). A junção PN forma um campo elétrico interno que é crucial para a separação e direcionamento dos portadores de carga.

A densidade de dopagem N_D e N_A nas regiões N e P influencia a largura da região de depleção W , que é dada por:

$$W = \sqrt{\frac{2\epsilon(V_{bi} + V)}{q} \left(\frac{1}{N_A} + \frac{1}{N_D} \right)} \quad (11)$$

onde:

- ϵ é a permissividade do silício,
- V_{bi} é a tensão de barreira de potencial da junção,
- V é a tensão aplicada.

Uma maior dopagem reduz a largura da região de depleção, aumentando a intensidade do campo elétrico e melhorando a separação de cargas, mas também pode aumentar a resistência elétrica e as perdas por recombinação.

5.3 Recombinação de Portadores

A eficiência da célula fotovoltaica é fortemente afetada pela recombinação de elétrons e buracos, que pode ocorrer através de centros de defeitos ou na superfície. A taxa de recombinação pode ser descrita pela equação de continuidade:

$$\frac{\partial n}{\partial t} = G - R \quad (12)$$

onde:

- n é a concentração de portadores,
- G é a taxa de geração,
- R é a taxa de recombinação.

Existem diferentes mecanismos de recombinação:

- **Recombinação Radiativa:** Emissão de um fóton quando um elétron e um buraco se recombina.
- **Recombinação de Shockley-Read-Hall (SRH):** Recombinação através de níveis de defeito no meio.
- **Recombinação de Auger:** Transferência de energia entre portadores de carga, sem emissão de fótons.

A taxa total de recombinação é a soma das taxas de recombinação de cada mecanismo:

$$R_{total} = R_{radiativa} + R_{SRH} + R_{Auger} \quad (13)$$

Minimizar a recombinação é essencial para aumentar a eficiência da célula, o que pode ser alcançado através de técnicas como passivação de superfícies e redução de defeitos cristalinos.

5.4 Comprimento de Decaimento

O comprimento de decaimento L_n dos portadores de carga é uma medida da distância média que um portador pode percorrer antes de se recombinar. É dado por:

$$L_n = \sqrt{D_n \tau_n} \quad (14)$$

onde:

- D_n é a difusividade dos elétrons,
- τ_n é o tempo de vida dos elétrons.

Para uma célula fotovoltaica eficiente, o comprimento de decaimento deve ser maior que a espessura da camada ativa, garantindo que os portadores de carga sejam coletados antes de se recombinarem.

5.5 Fatores de Eficiência

Diversos fatores influenciam a eficiência das células de silício, incluindo:

- **Reflexão da Luz:** Minimizada por camadas antirreflexo.
- **Absorção da Luz:** Maximizada através de materiais de alta qualidade e espessuras otimizadas.
- **Separação de Cargas:** Facilitada por um campo elétrico interno forte.
- **Coleta de Cargas:** Otimizada através de design eficiente de contatos elétricos.
- **Recombinação de Portadores:** Minimizada através de passivação e redução de defeitos.

6 Tipos de Células de Silício

6.1 Silício Monocristalino

Fabricadas a partir de um único cristal de silício, as células monocristalinas apresentam alta eficiência ($\sim 20 - 25\%$) e uniformidade devido à ausência de fronteiras de grão que podem atuar como centros de recombinação. O processo de fabricação envolve métodos como o método Czochralski, que permite o crescimento de cristais de silício de alta pureza e qualidade.

Vantagens:

- Alta eficiência.
- Estabilidade a longo prazo.
- Melhor desempenho em condições de baixa luminosidade.

Desvantagens:

- Custos de produção elevados.
- Maior consumo de energia no processo de fabricação.

6.2 Silício Policristalino

Compostas por múltiplos cristais de silício, as células policristalinas possuem menores custos de fabricação devido ao processo de solidificação mais simples e menos dispendioso. A eficiência é geralmente menor ($\sim 15 - 20\%$) em comparação com as monocristalinas, devido à presença de fronteiras de grão que podem servir como locais de recombinação de portadores de carga.

Vantagens:

- Custos de produção reduzidos.
- Menor consumo de energia na fabricação.
- Boa performance em condições de alta luminosidade.

Desvantagens:

- Menor eficiência.
- Uniformidade inferior devido às fronteiras de grão.

6.3 Silício Amorfo

As células de silício amorfo utilizam silício não cristalino e são geralmente fabricadas em filmes finos. Estas células são flexíveis e podem ser aplicadas em grandes áreas com custos de produção ainda menores. No entanto, a eficiência é significativamente menor ($\sim 6 - 10\%$) devido a maior taxa de recombinação e menor absorção de luz.

Vantagens:

- Flexibilidade e leveza.
- Baixos custos de produção.
- Adequadas para aplicações onde a flexibilidade é necessária.

Desvantagens:

- Baixa eficiência.
- Menor durabilidade em comparação com células cristalinas.

7 Avanços e Desafios

7.1 Avanços Tecnológicos

A indústria de células fotovoltaicas de silício tem testemunhado uma série de inovações que visam aumentar a eficiência e reduzir os custos de produção:

7.1.1 Células PERC (Passivated Emitter and Rear Cell)

Descrição: Melhoram a eficiência através da passivação da face traseira da célula, reduzindo a recombinação de portadores de carga e aumentando a reflexão de fótons de volta para a camada ativa.

Benefícios: Aumento da eficiência em até 1-2%.

7.1.2 Células Heterojunção

Descrição: Combinam camadas de silício com materiais de alta mobilidade, como óxidos metálicos ou nitretos, para melhorar a separação de cargas e reduzir a recombinação.

Benefícios: Maior eficiência e melhor desempenho em altas temperaturas.

7.1.3 Tecnologias de Múltiplas Junções

Descrição: Utilizam múltiplas camadas com diferentes bandas proibidas para absorver uma gama mais ampla do espectro solar.

Benefícios: Aumento significativo da eficiência, superando o limite de Shockley-Queisser para células de junção única.

7.1.4 Passivação Avançada

Descrição: Implementação de técnicas avançadas de passivação, como a aplicação de camadas finas de materiais dielétricos ou hidrogenados, para reduzir as taxas de recombinação na superfície.

Benefícios: Aumento da eficiência e longevidade das células.

7.1.5 Uso de Revestimentos Anti-reflexo Avançados

Descrição: Desenvolvimento de revestimentos multiâncora ou estruturas de superfície texturadas para minimizar a reflexão em uma ampla faixa de comprimentos de onda.

Benefícios: Maior absorção de luz e, consequentemente, maior geração de portadores de carga.

7.2 Desafios

Apesar dos avanços significativos, várias barreiras ainda precisam ser superadas para maximizar o potencial das células fotovoltaicas de silício:

7.2.1 Redução de Custos

Problema: Embora os custos tenham diminuído, há uma necessidade contínua de minimizar os custos de produção mantendo a alta eficiência.

Soluções Potenciais: Otimização de processos de fabricação, aumento da escala de produção e desenvolvimento de materiais alternativos menos dispendiosos.

7.2.2 Durabilidade e Degradação

Problema: As células fotovoltaicas estão sujeitas a degradação devido a condições ambientais adversas, como exposição a UV, umidade e variações térmicas.

Soluções Potenciais: Desenvolvimento de revestimentos protetores avançados, melhorias na qualidade do material e implementações de encapsulamento robusto.

7.2.3 Reciclagem e Sustentabilidade

Problema: O aumento da produção de células solares leva a desafios relacionados à reciclagem e ao impacto ambiental dos resíduos.

Soluções Potenciais: Desenvolvimento de métodos eficientes de reciclagem, utilização de materiais mais sustentáveis e design para desmontagem facilitada.

7.2.4 Limitações Físicas e Teóricas

Problema: O limite de eficiência de Shockley-Queisser impõe restrições teóricas à eficiência das células de junção única.

Soluções Potenciais: Explorar tecnologias de múltiplas junções, células tandem e materiais com diferentes bandas proibidas para superar o limite teórico.

7.2.5 Integração com Redes e Armazenamento

Problema: A integração eficiente das células fotovoltaicas com redes elétricas e sistemas de armazenamento de energia é crucial para a adoção em larga escala.

Soluções Potenciais: Desenvolvimento de tecnologias de armazenamento de energia mais eficientes, sistemas de gerenciamento de energia inteligentes e infraestrutura de rede adaptada.

8 Limite de Eficiência de Shockley-Queisser

8.1 Fundamentos do Limite

O limite de eficiência estabelecido por Shockley e Queisser (1961) considera as restrições termodinâmicas e as leis de conservação da energia para uma célula solar de junção única. Esse limite é calculado sob a suposição de que a única perda de energia ocorre devido à emissão térmica de radiação infravermelha e à incapacidade dos fótons de atingir exatamente a energia da banda proibida.

A eficiência máxima η_{SQ} é determinada pela maximização do balanço entre a geração de portadores de carga e as perdas por recombinação e emissão térmica.

8.2 Cálculo do Limite

O cálculo do limite de Shockley-Queisser envolve a integração do espectro solar sobre a função de absorção do material e a consideração das emissões térmicas que ocorrem quando os portadores de carga recombinam.

A densidade de corrente de curto-circuito J_{sc} é calculada integrando o fluxo de fótons com energia acima da banda proibida:

$$J_{sc} = q \int_{E_g}^{\infty} \frac{\Phi(E)}{E} \alpha(E) dE \quad (15)$$

A tensão de circuito aberto V_{oc} é determinada pela diferença entre a energia dos portadores de carga e as perdas térmicas:

$$V_{oc} = \frac{kT}{q} \ln \left(\frac{J_{sc}}{J_0} + 1 \right) \quad (16)$$

onde J_0 é a densidade de corrente de saturação.

A eficiência máxima é obtida ao multiplicar V_{oc} e J_{sc} e dividir pela potência total incidente P_{in} :

$$\eta_{SQ} = \frac{V_{oc} J_{sc}}{P_{in}} \quad (17)$$

O cálculo detalhado envolve integrais sobre o espectro solar, a função de absorção do material e as taxas de emissão e absorção de fótons, levando em consideração a emissão térmica do material.

8.3 Implicações do Limite

O limite de Shockley-Queisser estabelece uma meta teórica para o desenvolvimento de células solares de junção única. Para o silício, esse limite é de aproximadamente 33,7% sob condições de concentração de luz padrão. Este limite enfatiza a importância de otimizar tanto a absorção de luz quanto a minimização das perdas por recombinação para alcançar altas eficiências.

8.4 Superando o Limite

Embora o limite de Shockley-Queisser imponha restrições para células de junção única, várias abordagens têm sido propostas para superar esse limite:

1. Células Tandem ou de Múltiplas Junções:

- **Descrição:** Utilizam múltiplas camadas de materiais com diferentes bandas proibidas para absorver diferentes faixas do espectro solar.
- **Benefícios:** Aumentam a eficiência combinando as vantagens de cada material, podendo alcançar eficiências superiores a 40%.

2. Células de Ponto Quântico e Células Orgânicas:

- **Descrição:** Incorporam materiais com propriedades eletrônicas ajustáveis para melhor absorção e separação de cargas.
- **Benefícios:** Potencial para maior flexibilidade no design e adaptação a diferentes condições de luz.

3. Células de Perovskita:

- **Descrição:** Utilizam materiais de perovskita que possuem excelentes propriedades ópticas e eletrônicas.
- **Benefícios:** Alta eficiência de conversão e potencial para integração com células de silício em configurações tandem.

9 Modelagem e Simulação de Células Fotovoltaicas

9.1 Equação de Continuidade

A equação de continuidade para elétrons e buracos é essencial para descrever a distribuição de portadores de carga dentro da célula:

$$\frac{\partial n}{\partial t} = G - R + \frac{1}{q} \nabla \cdot \mathbf{J}_n \quad (18)$$

$$\frac{\partial p}{\partial t} = G - R - \frac{1}{q} \nabla \cdot \mathbf{J}_p \quad (19)$$

onde:

- n e p são as concentrações de elétrons e buracos,
- G é a taxa de geração de portadores,
- R é a taxa de recombinação,
- \mathbf{J}_n e \mathbf{J}_p são as densidades de corrente de elétrons e buracos.

9.2 Equações de Transporte

As equações de transporte descrevem o movimento dos portadores de carga sob a influência de campos elétricos e gradientes de concentração:

$$\mathbf{J}_n = qn\mu_n\mathbf{E} + qD_n\nabla n \quad (20)$$

$$\mathbf{J}_p = qp\mu_p\mathbf{E} - qD_p\nabla p \quad (21)$$

onde:

- μ_n e μ_p são as mobilidades dos elétrons e buracos,
- D_n e D_p são os coeficientes de difusão,
- \mathbf{E} é o campo elétrico.

9.3 Modelagem de Recombinação

A taxa de recombinação pode ser modelada de diferentes maneiras dependendo do mecanismo predominante:

9.3.1 Recombinação Radiativa

$$R_{radiativa} = Bnp \quad (22)$$

onde B é o coeficiente de recombinação radiativa.

9.3.2 Recombinação SRH

$$R_{SRH} = \frac{np - n_i^2}{\tau_p(n + n_1) + \tau_n(p + p_1)} \quad (23)$$

onde τ_n e τ_p são os tempos de vida dos elétrons e buracos, e n_1 e p_1 são as concentrações de equilíbrio para os estados de recombinação.

9.3.3 Recombinação de Auger

$$R_{Auger} = C(np^2 + pn^2) \quad (24)$$

onde C é o coeficiente de recombinação Auger.

9.4 Simulação de Circuito

A célula fotovoltaica é frequentemente simulada como um circuito equivalente, onde o diodo solar é combinado com uma fonte de corrente fotovoltaica e resistências parasitas:

$$I = I_{ph} - I_0 \left(e^{\frac{qV}{nkT}} - 1 \right) - \frac{V}{R_s} \quad (25)$$

onde R_s é a resistência série. A simulação envolve a solução das equações não lineares para obter a curva $I - V$ da célula, permitindo a determinação dos parâmetros como V_{oc} , I_{sc} e a eficiência.

10 Avanços na Pesquisa de Shockley e Queisser

O artigo de Shockley e Queisser (1961) foi pioneiro na definição dos limites de eficiência das células solares, considerando uma célula de junção única em equilíbrio detalhado. Algumas das contribuições chave incluem:

1. Balanceamento Detalhado:

- Consideraram todas as formas possíveis de absorção e emissão de fótons, estabelecendo um equilíbrio entre geração e recombinação de portadores de carga.

- Introduziram a ideia de que a emissão térmica irreversível limita a eficiência das células solares.

2. Limite de Eficiência para Diferentes Materiais:

- Calcularam o limite de eficiência para diversos materiais semicondutores, destacando o silício como um material promissor devido à sua banda proibida adequada e disponibilidade.

3. Dependência da Concentração de Luz:

- Analisaram como a eficiência varia com a concentração de luz incidente, estabelecendo que o aumento da concentração pode melhorar a eficiência até certo ponto, mas também introduz desafios como aumento de recombinação.

4. Implicações para Células de Múltiplas Junções:

- Embora focado em junções únicas, o trabalho lançou as bases para o desenvolvimento de células de múltiplas junções, que podem superar os limites de eficiência das junções únicas através da absorção de diferentes partes do espectro solar.

11 Aplicações Práticas e Implementações

11.1 Sistemas Residenciais e Comerciais

As células fotovoltaicas de silício são amplamente utilizadas em sistemas de geração de energia solar para residências e empresas. A modularidade e a escalabilidade das células permitem sua integração em telhados, fachadas e estruturas de grande escala, fornecendo uma fonte de energia limpa e sustentável.

11.2 Energia de Grande Escala e Usinas Solares

Em usinas solares de grande escala, a eficiência e a durabilidade das células de silício são cruciais para a viabilidade econômica. Tecnologias avançadas, como rastreadores solares que acompanham o movimento do sol, combinadas com células de alta eficiência, garantem uma produção energética otimizada.

11.3 Aplicações em Eletrônica Portátil e Dispositivos Integrados

Devido à sua confiabilidade e eficiência, as células de silício são utilizadas em dispositivos eletrônicos portáteis, como carregadores solares e equipamentos remotos. A miniaturização e a integração com circuitos eletrônicos avançados possibilitam novas aplicações em tecnologias emergentes, como a Internet das Coisas (IoT).

11.4 Integração com Armazenamento de Energia

A combinação de células fotovoltaicas de silício com sistemas de armazenamento de energia, como baterias de íon de lítio, é essencial para garantir um fornecimento contínuo de energia. Avanços na eficiência de ambas as tecnologias permitem a criação de sistemas híbridos que equilibram a geração e o armazenamento de energia de forma eficaz.

12 Futuro das Células Fotovoltaicas de Silício

12.1 Novos Materiais e Técnicas de Fabricação

A pesquisa contínua em novos materiais e técnicas de fabricação promete aumentar ainda mais a eficiência das células de silício. Materiais híbridos e técnicas de deposição avançadas, como epitaxia por feixe molecular (MBE) e deposição química de vapor (CVD), estão sendo explorados para melhorar a qualidade e as propriedades eletrônicas das células.

12.2 Sustentabilidade e Reciclagem

Com o aumento da produção de células solares, a sustentabilidade e a reciclagem tornam-se prioridades. Desenvolver métodos eficientes para reciclar silício e outros materiais das células fotovoltaicas é crucial para minimizar o impacto ambiental e promover a economia circular na indústria solar.

12.3 Integração com Outras Tecnologias de Energia

A integração das células fotovoltaicas de silício com outras tecnologias de energia renovável, como a eólica e a hidrelétrica, pode criar sistemas híbridos mais robustos e eficientes. A diversificação das fontes de energia permite uma maior resiliência e estabilidade na matriz energética global.

12.4 Avanços em Armazenamento de Energia

Os avanços em tecnologias de armazenamento de energia, como baterias de estado sólido e supercapacitores, complementam as células fotovoltaicas, permitindo um armazenamento mais eficiente e de maior capacidade. Essa sinergia é fundamental para enfrentar os desafios da intermitência na geração de energia solar.

12.5 Pesquisa em Superfícies e Interfaces

A otimização das superfícies e interfaces das células fotovoltaicas é um campo ativo de pesquisa. Técnicas como passivação avançada de superfícies, engenharia de bandas e a aplicação de camadas de proteção multifuncionais estão sendo desenvolvidas para reduzir perdas e aumentar a eficiência global das células.

13 Conclusão

As células fotovoltaicas de silício permanecem como a espinha dorsal da tecnologia de energia solar, graças à sua combinação de eficiência, confiabilidade e custo-benefício. Este artigo explorou detalhadamente os princípios físicos, as equações fundamentais e os avanços tecnológicos que sustentam as células de silício, incorporando conceitos do estudo de Shockley e Queisser sobre os limites teóricos de eficiência. Com contínuos avanços em materiais, técnicas de fabricação e integração com sistemas de energia, as células fotovoltaicas de silício estão bem posicionadas para desempenhar um papel crucial na transição para uma matriz energética mais sustentável e limpa.

14 Referências

Referências

- [1] Green, M. A. (1982). *Solar cells: Operating Principles, Technology, and System Applications*. Prentice-Hall.
- [2] Nelson, J. (2003). *Handbook of Photovoltaic Science and Engineering*. John Wiley & Sons.
- [3] Sze, S. M., & Ng, K. K. (2007). *Physics of Semiconductor Devices*. John Wiley & Sons.

- [4] Shockley, W., & Queisser, H. J. (1961). Detailed Balance Limit of Efficiency of p-n Junction Solar Cells. *Journal of Applied Physics*, 32(3), 510–519.
- [5] Luque, A., & Hegedus, S. (2011). *Handbook of Photovoltaic Science and Engineering*. Wiley.
- [6] Würfel, P. (1998). *Solar Cell Efficiency Tables (Version 40)*. National Renewable Energy Laboratory (NREL).
- [7] Yu, Z., & Shen, B. (2014). *Advances in Silicon Photovoltaic Technology*. Springer.
- [8] Bhattacharya, J. (2011). *Silicon Solar Cells: Advanced Principles and Practice*. John Wiley & Sons.
- [9] Street, R. A. (2003). *The Physics of Solar Cells*. Imperial College Press.
- [10] Hummel, R. W. (2009). *Introduction to the Physics of Solar Cells*. CRC Press.